

# Úvod, základné pojmy, testovanie bieleho šumu

Beáta Stehlíková

2-EFM-102 Časové rady

Fakulta matematiky, fyziky a informatiky, UK v Bratislave

## Analýza časových radov: úvod

## Klasický vzorový príklad

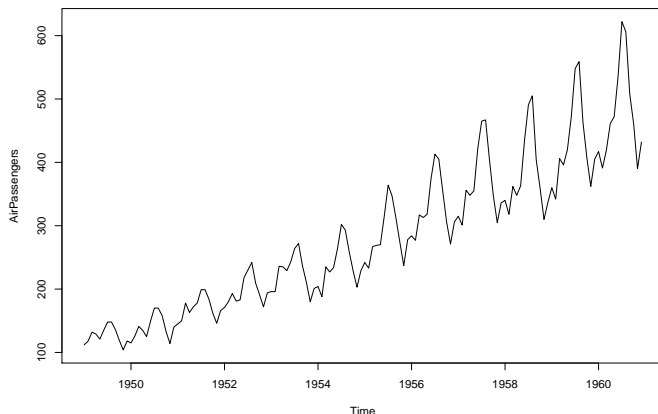
- ▶ Pozrieme sa na dátá - počty cestujúcich aerolinkami
- ▶ Dátá AirPassengers z balíka datasets
- ▶ Popis dát v dokumentácii (pomocou ?AirPassengers):
  - ▶ The classic Box & Jenkins airline data. Monthly totals of international airline passengers, 1949 to 1960.
  - ▶ A monthly time series, in thousands.

```
library(datasets)  
AirPassengers
```

##	Jan	Feb	Mar	Apr	May	Jun	Jul	Aug	Sep	Oct	Nov	Dec
## 1949	112	118	132	129	121	135	148	148	136	119	104	118
## 1950	115	126	141	135	125	149	170	170	158	133	114	140
## 1951	145	150	178	163	172	178	199	199	184	162	146	166
## 1952	171	180	193	181	183	218	230	242	209	191	172	194
## 1953	196	196	236	235	229	243	264	272	237	211	180	201

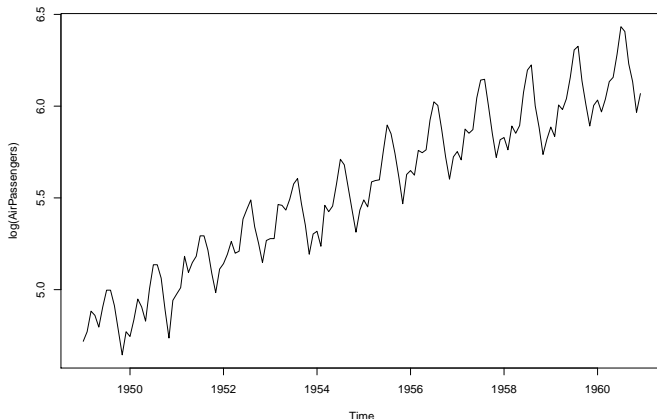
## Klasický vzorový príklad - priebeh dát

Stačí plot(AirPassengers) a vďaka časovej štruktúre dát máme:



## Klasický vzorový príklad - priebeh dát

Po zlogaritmovaní sa stabilizuje volatilita:



## Box a Jenkins

Budeme sa zaoberať najmä **prístupom od Boxa a Jenkinsa.**



Rozhovor s G. E. P. Boxom po oslavе jeho 80. narodenín (1999), ako sa začal zaujímať o štatistikу a ďalšie otázky.

*The first paper you wrote with Jenkins has been considered as a breakthrough in statistics.*

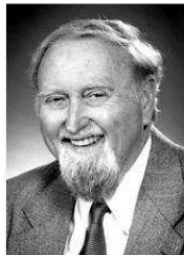
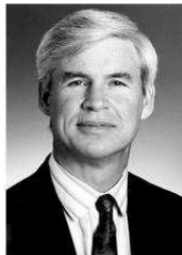
Peña, D. (2001). George Box: An interview with the International Journal of Forecasting. *International Journal of Forecasting*, 17(1), 1-9.

Odkaz na článok s rozhovorom:

<https://www.sciencedirect.com/science/article/pii/S0169207000000613>

## Modelovanie volatility

The Sveriges Riksbank Prize in Economic Sciences in Memory of Alfred Nobel 2003 was divided equally between Robert F. Engle III *for methods of analyzing economic time series with time-varying volatility (ARCH)* and Clive W.J. Granger for methods of analyzing economic time series with common trends (cointegration).



**ARCH model a jeho zovšeobecnenia** budú tiež obsahom nášho kurzu

The Sveriges Riksbank Prize in Economic Sciences in Memory of Alfred Nobel 2003. NobelPrize.org. Nobel Media

AB 2020. <<https://www.nobelprize.org/prizes/economic-sciences/2003/summary/>>

## Základné pojmy

## Obsah

- ▶ Časový rad, momenty
- ▶ Stacionarita, ergodicita
- ▶ Biely šum
- ▶ Autokorelačná funkcia
- ▶ Woldova reprezentácia
- ▶ Testy o autokorelačnej funkcií

## Momenty časového radu

- ▶ Náhodný proces  $x_1, x_2, \dots, x_T$  je úplne charakterizovaný svojou  $T$ -rozmernou distribučnou funkciou
- ▶ Obvykle sa zameriavame na **prvé dva momenty**:
  - ▶ stredná hodnota  $E(x_t)$
  - ▶ variacia  $D(x_t)$
  - ▶ kovariancie  $Cov(x_t, x_s)$ , tzv. autokovariancie

## Stacionarita a ergodicita

- ▶ Väčšinou máme len jeden časový rad - jednu realizáciu náhodného procesu → aby sa dala robiť štatistická inferencia, potrebujeme dodatočné predpoklady
- ▶ Napríklad: na to, aby sme odhadli strednú hodnotu, ... potrebujeme viac ako jednu realizáciu tejto náhodnej premennej
- ▶ Ergodický proces - výberové momenty počítané z časového radu s  $T$  pozorovaniami konvergujú pre  $T \rightarrow \infty$  k zodpovedajúcim momentom
- ▶ Tento koncept má zmysel iba ak predpokladáme, že  $E(x_t) = \mu$ ,  $D(x_t) = \sigma^2, \dots$  pre každé  $t$

## Stacionarita a ergodicita

- ▶ Silná stacionarita: združená distribučná funkcia sa nemení pri posune v čase
- ▶ Obvykle sa pracuje so slabším predpokladom → slabá stacionarita:

$$E(x_t) = \mu \quad \forall t \quad (1)$$

$$\text{Cov}(x_t, x_s) = \gamma(|t - s|) \quad \forall t, s \quad (2)$$

- ▶ Z (2) vyplýva, že  $D(x_t) = \text{const.}$  pre všetky  $t$ .
- ▶ Ďalej budeme pod stacionaritou rozumieť slabú stacionaritu.

## Stacionarita - dátá

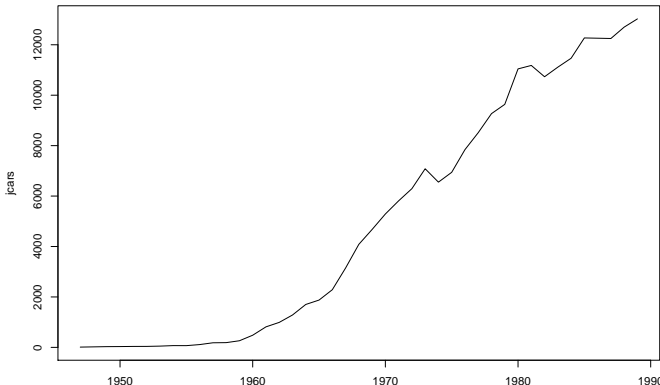
- ▶ *Stacionárny časový rad:*
  - ▶ dátá sú pritahované k určitej rovnovážnej hodnote, okolo ktorej oscilujú
- ▶ *Nestacionárny časový rad:*
  - ▶ napríklad trend: rastúci trend → stredná hodnota nie je konštantná → proces nie je stacionárny
  - ▶ neskôr budeme vidieť aj iné druhy nestacionarity (napr. zatial' nejasne znejúci pojem *jednotkový koreň* v sylabe predmetu)

# PRIKLAD 1

# Japanese motor vehicle production in thousand (1947-1989)

library(fma)

plot(jcars)

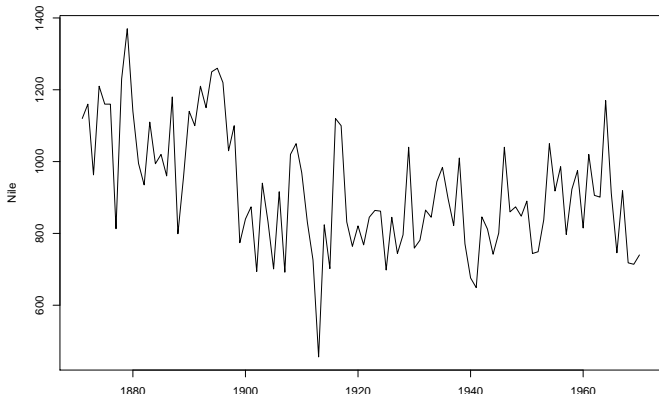


## # PRIKLAD 2

# Rocny prietok Nilu v Aswane v  $10^8 m^3$  (stavba priehrad)

```
library(datasets)
```

```
plot(Nile)
```

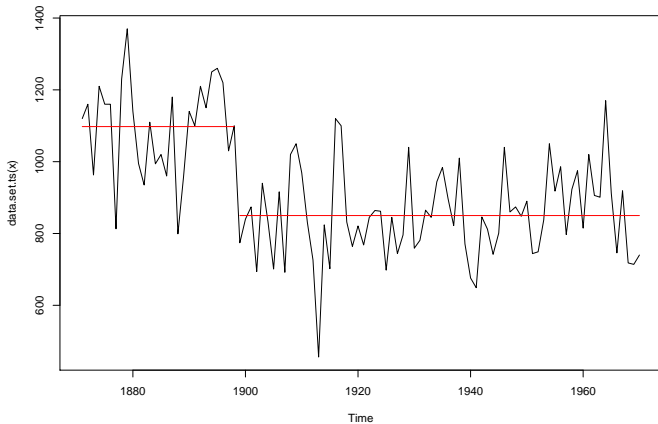


## Nepovinné poznámky: Hľadanie bodov zmeny

- ▶ Tutoriál (2017) na stránke:  
[http://members.cbio.mines-paristech.fr/~thocking/  
change-tutorial/RK-CptWorkshop.html](http://members.cbio.mines-paristech.fr/~thocking/change-tutorial/RK-CptWorkshop.html)
- ▶ Diplomovka Lucie Macháčkovej, zmeny v prietokoch  
slovenských riek (2020, školiteľ: doc. Pekár)
- ▶ Článok s prehľadom rôznych metód: *Aminikhanghahi, S., & Cook, D. J. (2017). A survey of methods for time series change point detection. Knowledge and information systems, 51(2), 339-367.*  
<https://link.springer.com/article/10.1007/s10115-016-0987-z>

```
# pozrieme sa na prietoky Nilu:  
library(changepoint)  
zmena <- cpt.mean(Nile)  
plot(zmena)
```

Výstup z predchádzajúceho slajdu:



## Biely šum

## Definícia bieleho šumu

- ▶ Dôležitý príklad stacionárneho procesu, pomocou ktorého budeme definovať aj rôzne modely pre dátu
- ▶ Biely šum  $u_t$  je náhodný proces s nasledujúcimi vlastnosťami

$$\mathbb{E}(u_t) = 0 \quad \forall t$$

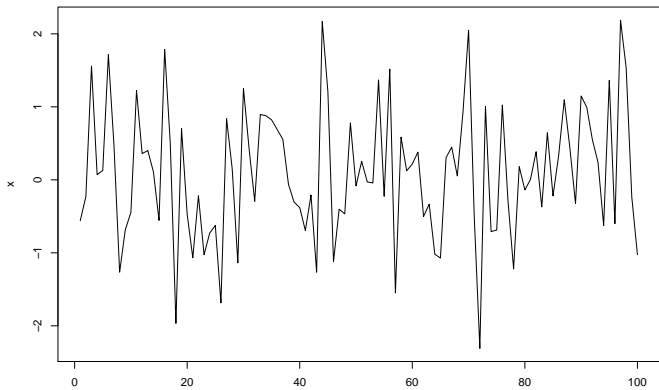
$$\mathbb{D}(u_t) = \sigma^2 \quad \forall t$$

$$\text{Cov}(u_t, u_s) = 0 \quad \forall t \neq s$$

- ▶ Napríklad postupnosť nezávislých náhodných premenných s rovnakým rozdelením (a konečnou strednou hodnotou a disperziou), ale nie je to jediná možnosť

## Príklad

```
x <- rnorm(100)  
plot(x, type = "l")
```



## Príklady: zistovanie stacionarity procesu

## Príklad 1

- ▶ Nech  $u_t$  je biely šum, definujme

$$x_t = u_t + u_{t-1}$$

- ▶ Platí:

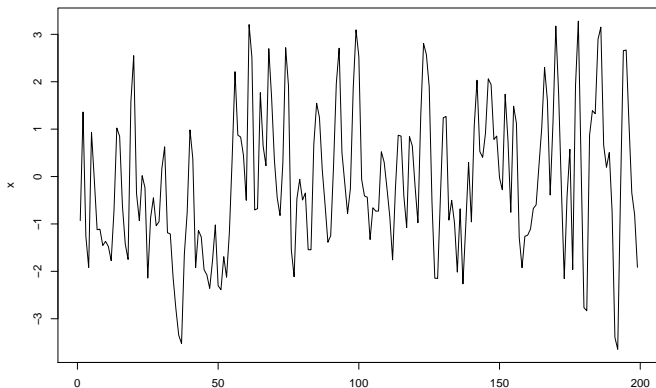
$$\mathbb{E}(x_t) = 0, \mathbb{D}(x_t) = 2\sigma^2$$

$$\text{Cov}(x_t, x_{t+k}) = \begin{cases} \sigma^2 & \text{pre } k = 1, \\ 0 & \text{pre } k = 2, 3, \dots \end{cases}$$

- ▶ Proces teda **je stacionárny**

## Príklad 1: simulácia priebehu procesu, $N = 200$ pozorovaní

```
u <- rnorm(N + 1)  
x <- u[2:N] + u[1:(N - 1)]
```



## Príklad 2

- Nech  $u_t$  je biely šum, definujme

$$y_t = \begin{cases} u_1 & \text{pre } t = 1, \\ x_{t-1} + u_t & \text{pre } t = 2, 3, \dots \end{cases}$$

- $y_t$  sa dá zapísat v tvare  $y_t = \sum_{i=1}^t u_i$

- Platí:

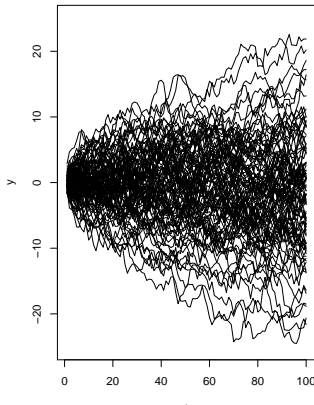
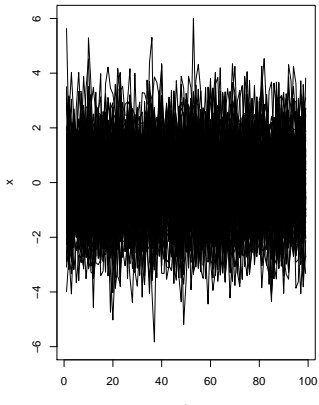
$$\mathbb{E}(x_t) = 0, \mathbb{D}(x_t) = t\sigma^2$$

$$\text{Cov}(x_t, x_{t+k}) = t \quad \text{pre } k > 0$$

- Proces teda **nie je stacionárny** (to vieme povedať už po výpočte disperzie)

## Príklady 1, 2: porovnanie simulácií procesov

- Vľavo: stacionárny proces z príkladu 1, vpravo: proces s rastúcou disperziou z príkladu 2



## Príklad 3

- ▶ Nech  $u_t$  je biely šum, definujme

$$x_t = \mu + \sum_{j=0}^{\infty} \psi_j u_{t-j}, \quad (3)$$

kde koeficienty  $\psi_j$  spĺňajú  $\psi_0 = 1, \sum \psi_j^2 < \infty$

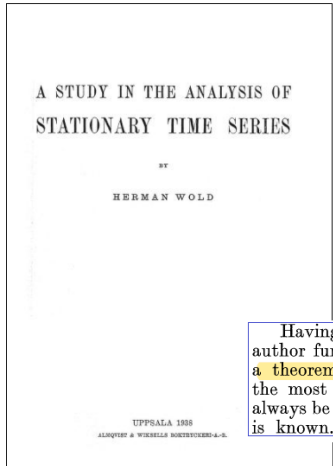
- ▶ Platí:

$$\mathbb{E}(x_t) = \mu, \mathbb{D}(x_t) = \sigma^2 \sum_{j=1}^{\infty} \psi_j^2 \sigma^2$$

$$\text{Cov}(x_t, x_{t+k}) = \sigma^2 \sum_{j=0}^{\infty} \psi_j \psi_{k+j}$$

- ▶ Proces **je stacionárny.**

## Woldova reprezentácia



Having discussed a number of types of random processes, the author furnishes proofs of their various properties, and then gives a theorem of considerable interest, concerning the structure of the most general discrete stationary process. This, in fact, can always be presented as a sum of two components the nature of which is known.

J. N. (1939). Journal of the Royal Statistical Society, 102(2), 295-298.

<https://archive.org/details/in.ernet.dli.2015.262214>

<https://www.jstor.org/stable/298000>

<https://digitaltmuseum.se/021016543711/professor-herman-wold-uppsala-1969>

## Woldova reprezentácia stacionárneho procesu

- ▶ V príklade 3: Proces tvaru (3) je stacionárny
- ▶ Dá sa dokázať: Každý stacionárny proces  $x_t$  sa dá zapísat v tvare

$$x_t = \mu_t + \sum_{j=0}^{\infty} \psi_j u_{t-j}$$

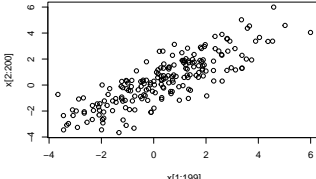
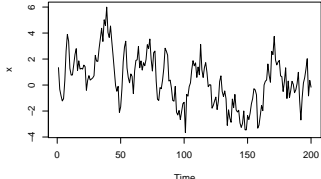
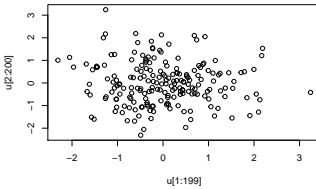
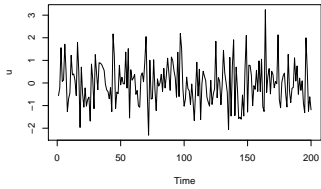
kde  $u$  je biely šum,  $\psi_0 = 1$ ,  $\sum_{j=0}^{\infty} \psi_j^2 < \infty$  a  $\mu_t$  sa dá presne predikovať z predchádzajúcich hodnôt procesu  $x$  (v našich aplikáciách to bude konštantá)

- ▶ Toto vyjadrenie sa nazýva Woldova reprezentácia

## Autokorelačná funkcia (ACF)

## Motivácia

- Vľavo:  $u_t$ , vpravo:  $x_t = 0.9x_{t-1} + u_t$  - simulácia a závislosť  $x_t$  od  $x_{t-1}$



## Definícia základné vlastnosti

- Autokorelačná funkcia (ACF) stacionárneho procesu je definovaná ako

$$\rho(\tau) = \text{cor}(x_t, x_{t+\tau}) = \frac{\text{cov}(x_t, x_{t+\tau})}{\sqrt{\mathbb{D}(x_t)}} \approx +\tau$$

- ACF sa teda dá vyjadriť pomocou autokovariančnej funkcie  $\gamma$ :

$$\rho(\tau) = \frac{\gamma(\tau)}{\gamma(0)},$$

- Platí:

$$\rho(0) = 1, \rho(-\tau) = \rho(\tau),$$

stačí nám teda počítať  $\rho(\tau)$  pre  $\tau = 1, 2, \dots$

## Príklad

- ▶ Nech  $u_t$  je biely šum, definujme

$$x_t = u_t + u_{t-1}$$

- ▶ Pre tento proces sme odvodili stacionaritu a vlastnosti:

$$\mathbb{D}(x_t) = 2\sigma^2, \text{Cov}(x_t, x_{t+k}) = \begin{cases} \sigma^2 & \text{pre } k = 1, \\ 0 & \text{pre } k = 2, 3, \dots \end{cases}$$

- ▶ ACF teda je

$$\rho(k) = \text{Cor}(x_t, x_{t+k}) = \begin{cases} 1/2 & \text{pre } k = 1, \\ 0 & \text{pre } k = 2, 3, \dots \end{cases}$$

## Odhadovanie ACF z dát

- Ergodický proces → stredná hodnota, disperzia a autokovariancie sa dajú konzistentne odhadnúť z dát  $x_1, \dots, x_T$ :

$$\hat{\mu} = \frac{1}{T} \sum_{t=1}^T x_t, \quad \hat{\gamma}(0) = \frac{1}{T} \sum_{t=1}^T (x_t - \hat{\mu})^2$$

$$\hat{\gamma}(\tau) = \sum_{t=1}^{T-\tau} (x_t - \hat{\mu})(x_{t+\tau} - \hat{\mu})$$

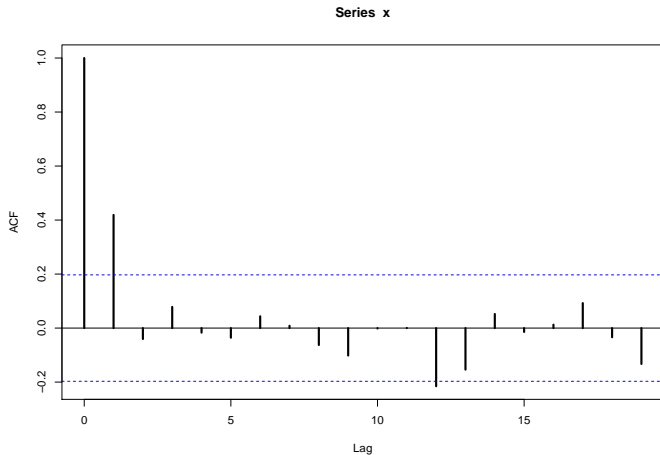
- Z toho - konzistentný odhad autokorelačnej funkcie:

$$\hat{\rho}(\tau) = \frac{\hat{\gamma}(\tau)}{\hat{\gamma}(0)}$$

- je asymptoticky nevychýlený

## Odhadovanie ACF z dát v R-ku: funkcia acf

```
acf(x) # pre data x <- u[2:N] + u[1:(N - 1)]
```



## Využitie na kontrolu výpočtov

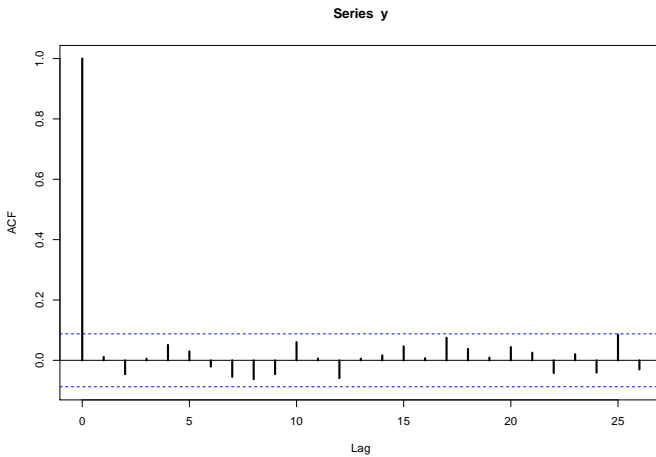
- Zadanie: Nech  $z_t$  je proces, ktorého hodnoty sú nezávislé náhodné premenné s rozdelením  $N(0, 1)$ . Ukážte, že nasledujúci proces je stacionárny a vypočítajte jeho ACF:

$$y_t = \begin{cases} z_t & \text{pre } t \text{ nepárne} \\ \frac{1}{\sqrt{2}}(z_{t-1}^2 - 1) & \text{pre } t \text{ párne} \end{cases}$$

- Vygenerujeme si daný proces a zobrazíme odhadnutú ACF (náš výpočet by mal dať podobný výsledok):

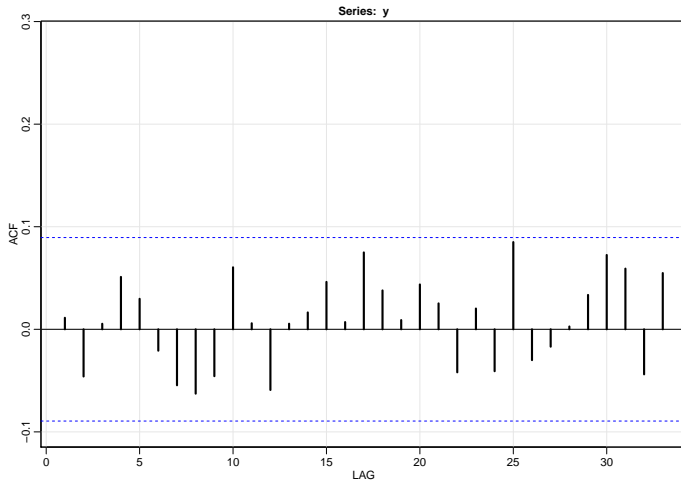
```
set.seed(1234)
N <- 500
z <- rnorm(N, mean = 0, sd = 1)
y <- z # pre neparne indexy zostane, parne upravime
ind.parne <- seq(from = 2, to = N, by = 2)
y[ind.parne] <- (1/sqrt(2)) * (z[ind.parne - 1]^2 - 1)
```

**acf(y)**



## Alternatíva: funkcia acf1 z balíka astsa

```
library(astsa); acf1(y)
```



## Testovanie nulovosti autokorelácií

## Testovanie nulovosti autokorelácií - každej samostatne

- ▶ Biely šum má nulovú ACF  $\Rightarrow$  pri **testovaní**, či sú dátá bielym **šumom**, budeme **testovať**, či majú nulové autokorelácie
- ▶ Odhad ACF v prípade bieleho šumu
  - ▶ asymptoticky nevychýlený
  - ▶ disperzia  $\approx 1/T$
  - ▶  $\Rightarrow$  približný 95 % interval spoľahlivosti:  $\pm 2/\sqrt{T}$  - často sa zobrazuje spolu s odhadnutými autokoreláciami (aj v prípade funkcií acf a acf1)
- ▶ Pre každú autokoreláciu samostatne:
  - ▶ Testujeme, či sa rovná nule.
  - ▶ Nulovú hypotézu zamietame, ak je jej odhad mimo interval spoľahlivosti

Ak testujeme nulovosť autokorelácie, nie pre biely šum:

- V prípade procesu, pre ktorý platí  $\rho(\tau) = 0$  pre  $\tau > k$ , pre tieto  $\tau$  platí

$$\mathbb{D}(\hat{\rho}(\tau)) \approx \frac{1}{T} \left( 1 + s \sum_{j=1}^k \hat{\rho}(j)^2 \right)$$

## Testovanie nulovosti autokorelácií - Ljung-Boxov test

- ▶ Netestujeme nulovosť každej autokorelácie samostatne, ale testujeme hypotézu  $\rho(1) = \rho(2) = \dots = \rho(m) = 0$
- ▶ Box & Pierce, 1970: ak platí  $H_0$ , asymptoticky

$$Q = T \sum_{j=1}^m \hat{\rho}(j)^2 \sim \chi_m^2$$

- ▶ Ljung & Box, 1978: modifikácia s lepšími vlastnosťami pri menšom počte dát

$$Q = T(T+2) \sum_{j=1}^m \frac{\hat{\rho}(j)^2}{T-j} \sim \chi_m^2$$

- ▶ Poznámka, ktorú využijeme neskôr: Počet stupňov volnosti sa zmení, ak ide o rezíduá z modelu

## Ljung-Boxov test v R-ku: funkcia Box.test

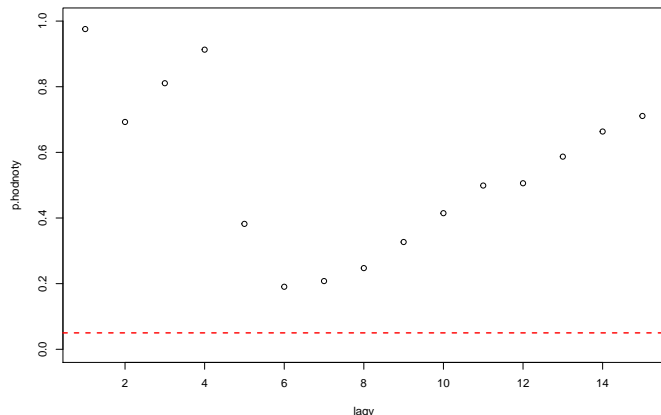
- ▶ Testujme pre dátu x, že prvé tri autokorelácie sú nulové

```
set.seed(12345)
x <- rnorm(N)

Box.test(x, lag = 3, type = "Ljung-Box") # staci `Ljung`  
  
##  
##  Box-Ljung test  
##  
## data: x  
## X-squared = 0.9611, df = 3, p-value = 0.8107
```

## Na cvičení - štandardný výstup pre LB test

- ▶ Ljung-Boxov test pre rôzny počet lagov, zobrazíme P hodnoty (prístup pomocou `$p.value`) a hranicu 0.05:



## Na cvičení - (ne)korelovanosť výnosov akcií

- ▶ Aj ako načítať ceny akcií priamo z R-ka a kresliť pekné grafy

